

Un modèle de diffusion gazeuse dans les voies respiratoires distales

Laurent Boudin

Univ. Pierre et Marie Curie Paris-VI & INRIA

Séminaire de mathématiques appliquées, Collège de France
14 janvier 2011

Collaborations avec

Dario Götz (Tech. Univ. Darmstadt)

Bérénice Grec (Univ. Paris Descartes)

Francesco Salvarani (Univ. Pavia)

Aperçu de l'exposé

- 1 Un mélange gazeux dans le poumon
- 2 L'expérience de Duncan et Toor
- 3 Les équations de Maxwell-Stefan
 - Présentation du modèle
 - Mélange à trois espèces
- 4 La limite d'un modèle cinétique
 - Contexte mathématique
 - Noyaux de collision, propriétés
 - Limite de diffusion

Aperçu de l'exposé

- 1 Un mélange gazeux dans le poumon
- 2 L'expérience de Duncan et Toor
- 3 Les équations de Maxwell-Stefan
 - Présentation du modèle
 - Mélange à trois espèces
- 4 La limite d'un modèle cinétique
 - Contexte mathématique
 - Noyaux de collision, propriétés
 - Limite de diffusion

Compositions de l'air

Air = **mélange gazeux à plusieurs composants**, principalement :

	azote (N ₂)	oxygène (O ₂)	eau (H ₂ O)	dioxyde de carbone (CO ₂)
atmosphérique (sec)	78%	21%	0%	0%
pulmonaire (humide) av. éch. gazeux	74,3%	19,5%	6,2%	0%
pulmonaire (humide) apr. éch. gazeux	74,3%	14,2%	6,2%	5,3%

Modèles d'écoulement de l'air dans le poumon

- Générations 1–7 : régime principalement convectif
→ Navier-Stokes

Schéma descriptif
des voies aériennes

- Générations 8–14 : régime mixte
- Générations 15–23 : régime principalement diffusif
→ quel modèle ?

Hypothèse dans les voies distales :
convection négligée \implies régime *purement* diffusif

Échanges gazeux dans l'alvéole

De nombreux schémas décrivant les échanges gazeux avec le sang depuis l'alvéole sont disponibles en ligne.

Diffusion pilotée par les pressions partielles en O_2 et CO_2

Aperçu de l'exposé

- 1 Un mélange gazeux dans le poumon
- 2 L'expérience de Duncan et Toor
- 3 Les équations de Maxwell-Stefan
 - Présentation du modèle
 - Mélange à trois espèces
- 4 La limite d'un modèle cinétique
 - Contexte mathématique
 - Noyaux de collision, propriétés
 - Limite de diffusion

Description de l'expérience

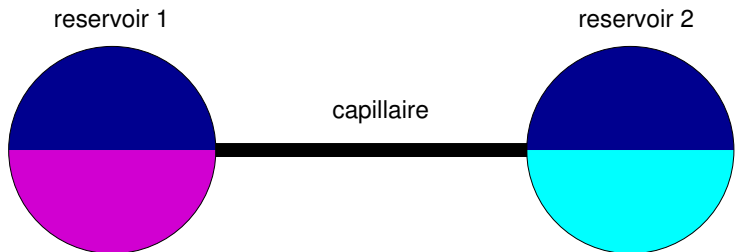
Mélange de trois gaz parfaits : dioxyde de carbone, azote, hydrogène

Réservoir n° 1 :

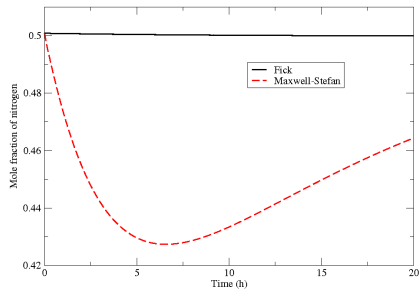
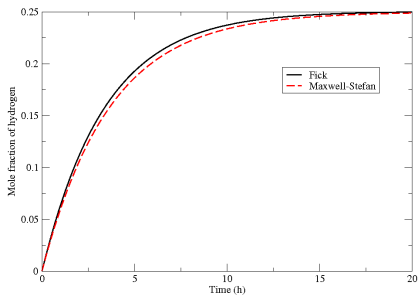
CO_2 (50%) et N_2 (50%)

Réservoir n° 2 :

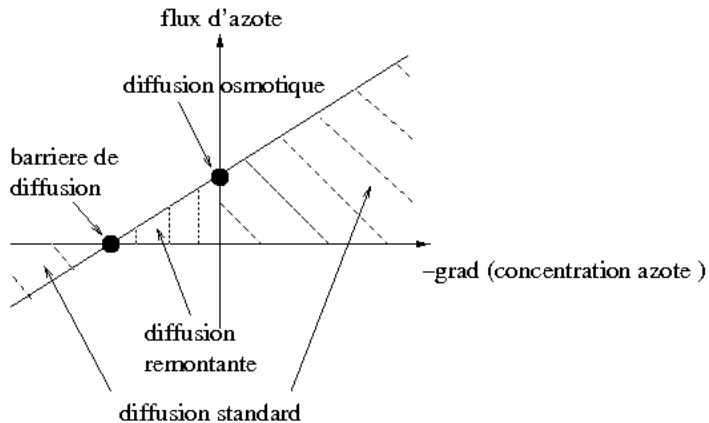
H_2 (50%) et N_2 (50%)



Phénomènes de diffusion étranges



Plusieurs types de diffusion



Aperçu de l'exposé

- 1 Un mélange gazeux dans le poumon
- 2 L'expérience de Duncan et Toor
- 3 Les équations de Maxwell-Stefan
 - Présentation du modèle
 - Mélange à trois espèces
- 4 La limite d'un modèle cinétique
 - Contexte mathématique
 - Noyaux de collision, propriétés
 - Limite de diffusion

Aperçu de l'exposé

- 1 Un mélange gazeux dans le poumon
- 2 L'expérience de Duncan et Toor
- 3 Les équations de Maxwell-Stefan**
 - Présentation du modèle
 - Mélange à trois espèces
- 4 La limite d'un modèle cinétique
 - Contexte mathématique
 - Noyaux de collision, propriétés
 - Limite de diffusion

Équations de Maxwell-Stefan

Mélange de $I \geq 2$ espèces dans $\Omega \subset \mathbb{R}^3$ ouvert borné de bord régulier

Espèce i : concentration c_i – fraction molaire ξ_i – flux molaire N_i

- Système fermé et régime purement diffusif \Rightarrow diffusion équimolaire :

$$\sum_i N_i = 0 \text{ et } C := \sum_i c_i \text{ constante}$$

- Système fermé $\Rightarrow N_{i|\partial\Omega} = 0$

- Conservation de la masse $\partial_t \xi_i + \nabla_x \cdot N_i = 0$

- Loi de Maxwell-Stefan $-\nabla_x \xi_i = \frac{1}{C} \sum_{j \neq i} \frac{\xi_j N_i - \xi_i N_j}{D_{ij}}$

à comparer avec la loi de Fick $-D_i \nabla_x \xi_i = N_i$,

D_{ij} coeff. de diffusion binaires, D_i coeff. de diffusion effectifs

Dérivation en 1D

 Krishna, Wesselingh. *Chem. Eng. Sci.* 52, 1997

- Hypothèse des gaz parfaits
- Équilibre entre forces de pression et de friction
- Force de pression molaire de l'espèce i : $-\frac{RT}{c_i}\partial_x c_i$
- Forces de friction molaire de l'espèce j sur i : $\frac{RT}{D_{ij}}\zeta_j(u_i - u_j)$
- Relation d'équilibre

$$-\frac{1}{c_i}\partial_x c_i = \sum_{j \neq i} \frac{1}{D_{ij}}\zeta_j(u_i - u_j)$$

- Lien flux / vitesse molaire : $N_i = C\zeta_i u_i$

Maxwell-Stefan vs. Fick dans le poumon

- Modèles pertinents pour l'air dans un poumon sain
- Air \rightarrow heliox / oxhel := hélium (79%) + oxygène (21%) pour BPCO (emphysème, bronchite chronique)
- Voies proximales : pas d'effet inflammatoire de l'hélium
- Voies distales : absorption d'oxygène améliorée

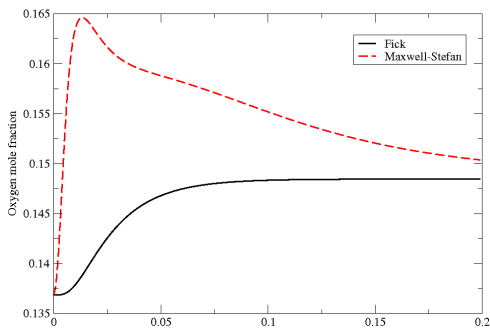
Voir



Thiriet *et al.* *Bull. Eur. Physiopathol. Respir.* 15, 1979



Chang. *Fed. Proc.* 39, 1980



Contexte mathématique

Beaucoup de littérature en physique mais
peu de contributions mathématiques à notre connaissance, sauf

 Giovangigli. *Multicomponent flow modeling*, Birkhäuser, 1999

 Bothe. *Proc. Conf. Nonlinear Parabolic Problems*, à paraître

Aperçu de l'exposé

- 1 Un mélange gazeux dans le poumon
- 2 L'expérience de Duncan et Toor
- 3 Les équations de Maxwell-Stefan**
 - Présentation du modèle
 - Mélange à trois espèces
- 4 La limite d'un modèle cinétique
 - Contexte mathématique
 - Noyaux de collision, propriétés
 - Limite de diffusion

Forme réduite du système

Inconnues $\zeta_1, N_1, \zeta_2, N_2$

$$\begin{aligned} \partial_t \zeta_i + \nabla_x \cdot N_i &= 0 & 1 \leq i \leq 2 \\ \frac{1}{D_{13}} N_1 + \alpha N_1 \zeta_2 - \alpha N_2 \zeta_1 &= -\nabla_x \zeta_1 \\ \frac{1}{D_{23}} N_2 - \beta N_1 \zeta_2 + \beta N_2 \zeta_1 &= -\nabla_x \zeta_2 \end{aligned}$$

avec

$$\alpha = \frac{1}{D_{12}} - \frac{1}{D_{13}}, \quad \beta = \frac{1}{D_{12}} - \frac{1}{D_{23}}$$

Pour l'espèce 3 : $\zeta_3 = 1 - \zeta_1 - \zeta_2, N_3 = -N_1 - N_2$

Convergence vers l'équilibre en temps grand

Théorème ($\alpha = 0$)

Soient $\xi_1^{\text{in}}, \xi_2^{\text{in}} \in L^\infty(\Omega)$ positives telles que $\xi_1^{\text{in}} + \xi_2^{\text{in}} \leq 1$.

- Existence et unicité des solutions régulières $\forall t \geq 0$
- $\xi_1 \geq 0, \xi_2 \geq 0$
- $\|\xi_1(t, \cdot)\|_{L^1} = \|\xi_1^{\text{in}}\|_{L^1}, \|\xi_2(t, \cdot)\|_{L^1} = \|\xi_2^{\text{in}}\|_{L^1}, \forall t \geq 0$
- $(\xi_i) \rightarrow \bar{\xi}_i := \frac{\|\xi_i^{\text{in}}\|_{L^1}}{|\Omega|}$ quand $t \rightarrow +\infty$
- Pour $\theta \in]0, 1[$, il existe $K_\theta \geq 0$ telle que, si on pose

$$E(t) = \frac{K_\theta}{2} \int_{\Omega} (\xi_1 - \bar{\xi}_1)^2 dx + \frac{1}{2} \int_{\Omega} (\xi_2 - \bar{\xi}_2)^2 dx,$$

alors $E(t) \leq E(0) \exp(-2\theta \min(D_{12}, D_{23}) C_{d,\Omega} t)$, où $C_{d,\Omega}$ est la meilleure constante pour l'inégalité de Poincaré sur Ω .

Convergence vers l'équilibre – éléments de preuve

- $m = \min(D_{12}, D_{23})$, $M = \max(D_{12}, D_{23})$
- Équation de la chaleur sur $\xi_1 \implies$

$$\frac{1}{2} \frac{d}{dt} \int_{\Omega} (\xi_1 - \bar{\xi}_1)^2 dx \leq -D_{12} \int_{\Omega} |\nabla \xi_1|^2 dx$$

- Pour ξ_2 :

$$\frac{1}{2} \frac{d}{dt} \int_{\Omega} (\xi_2 - \bar{\xi}_2)^2 dx \leq - \int_{\Omega} \gamma |\nabla \xi_2|^2 dx - \beta D_{12} \int_{\Omega} \gamma \nabla \xi_1 \cdot \nabla \xi_2 dx$$

avec $\gamma = \left(\frac{1}{D_{23}} + \beta \xi_1 \right)^{-1} \in [m, M]$

- On conclut en utilisant $ab \leq \varepsilon a^2 + b^2/4\varepsilon$ pour tout $\varepsilon > 0$.

Un peu d'analyse numérique, $d = 1$

Hypothèse : $D_{23} \geq D_{13} \geq D_{12}$, i.e. $\alpha, \beta \geq 0$

- Subdivision régulière $(x_j := j\Delta x)_{0 \leq j \leq J}$ de $\Omega = (0, 1)$
- ξ_i estimée en $x_{j+1/2} := (j + 1/2)\Delta x$
- N_i estimé en x_j

Pour $\Delta t > 0$ et $i \in \{1, 2\}$, on considère les approximations suivantes

$$\xi_i^{(k,j)} \simeq \xi_i(k\Delta t, x_{j+1/2}), \quad k \in \mathbb{N}, \quad 0 \leq j \leq J-1,$$

$$N_i^{(k,j)} \simeq N_i(k\Delta t, x_j), \quad k \in \mathbb{N}, \quad 0 \leq j \leq J,$$

$$\xi_i^{(k,j-1/2)} = \frac{1}{2} \left(\xi_i^{(k,j)} + \xi_i^{(k,j-1)} \right), \quad k \in \mathbb{N}, \quad 1 \leq j \leq J.$$

Schéma aux différences finies

Paramètre de diffusion $\sigma = \Delta t / \Delta x^2$

- Conservation de l'espèce i

$$\zeta_i^{(k+1,j)} = \zeta_i^{(k,j)} - \sigma \left[N_i^{(k,j+1)} \Delta x - N_i^{(k,j)} \Delta x \right]$$

- Maxwell-Stefan \rightarrow système linéaire d'inconnues $N_1^{(k,j)} \Delta x, N_2^{(k,j)} \Delta x$

$$\left[\frac{1}{D_{13}} + \alpha \zeta_2^{(k,j-1/2)} \right] N_1^{(k,j)} - \alpha \zeta_1^{(k,j-1/2)} N_2^{(k,j)} = \frac{\zeta_1^{(k,j-1)} - \zeta_1^{(k,j)}}{\Delta x}$$

$$-\beta \zeta_2^{(k,j-1/2)} N_1^{(k,j)} + \left[\frac{1}{D_{23}} + \beta \zeta_1^{(k,j-1/2)} \right] N_2^{(k,j)} = \frac{\zeta_2^{(k,j-1)} - \zeta_2^{(k,j)}}{\Delta x}$$

Propriétés du schéma

Proposition (conservation de la masse totale de chaque espèce)

$$\sum_j \tilde{\xi}_i^{(k+1,j)} = \sum_j \tilde{\xi}_i^{(k,j)} + \sigma \sum_j \Delta x \left[N_i^{(k,j)} - N_i^{(k,j+1)} \right] = \sum_j \tilde{\xi}_i^{(k,j)}$$

Proposition (consistence, stabilité si $D_{13} = D_{12}$)

- Schéma d'ordre 1 en temps et 2 en espace
- Schéma stable L^∞ si $\sigma D_{23} \leq 1/2$

Immédiat pour $\tilde{\xi}_1$ car solution de l'équation de la chaleur

Quand $\alpha \neq 0$, le schéma semble rester stable sous la même condition.

Preuve de la stabilité – lemme

On introduit

$$A(u, v) = \sigma D_{23} \frac{2 + \beta D_{12}(u - v)}{2 + \beta D_{23}(u + v)}, \quad \forall u, v \in [0, 1].$$

On vérifie

$$\frac{\partial A}{\partial u} = -2\beta D_{23}\sigma \frac{(D_{23} - D_{12})(1 - v)}{[2 + \beta D_{23}(u + v)]^2} \leq 0,$$

$$\frac{\partial A}{\partial v} = -2\beta D_{23}\sigma \frac{(D_{23} + D_{12}) + (D_{23} - D_{12})u}{[2 + \beta D_{23}(u + v)]^2} \leq 0.$$

et on obtient

$$\sigma D_{12} \leq A(u, v) \leq \sigma D_{23}, \quad \forall u, v \in [0, 1].$$

Preuve de la stabilité – fin

- $X = \zeta_1^{(k,j-1)}$, $Y = \zeta_1^{(k,j)}$, $Z = \zeta_1^{(k,j+1)} \in [0, 1]$
- Schéma pour ζ_2 :

$$\zeta_2^{(k+1,j)} = (1 - A(Y, Z) - A(Y, X))\zeta_2^{(k,j)} + A(Z, Y)\zeta_2^{(k,j+1)} + A(X, Y)\zeta_2^{(k,j-1)}$$

- $\Rightarrow \zeta_2^{(k+1,j)} \geq 0$ sous la condition de stabilité
- Récurrence sur $k \in \mathbb{N}$: $\zeta_1^{(k,j)} + \zeta_2^{(k,j)} \leq 1$

$$\Rightarrow \zeta_1^{(k+1,j)} + \zeta_2^{(k+1,j)} \leq F(X, Y, Z) \equiv 1!$$

alors que

$$\begin{aligned} F(X, Y, Z) &= (1 - 2\sigma D_{12})Y + \sigma D_{12}(X + Z) \\ &\quad + (1 - A(Y, Z) - A(Y, X))(1 - Y) \\ &\quad + A(Z, Y)(1 - Z) + A(X, Y)(1 - X) \end{aligned}$$

Convergence numérique vers l'équilibre

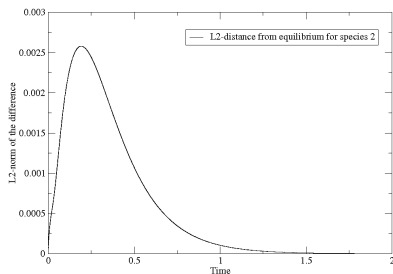
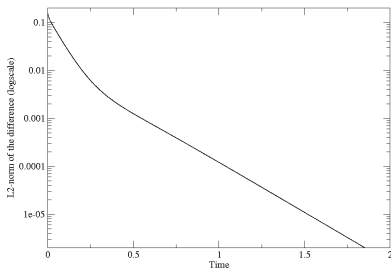
Cas général (coeff. binaires distincts, Duncan et Toor)

$$D_{12} = 0,833, D_{13} = 0,680, D_{23} = 0,168$$

Condition initiale :

$$\xi_1^{\text{in}}(x) = \begin{cases} 0,8 & \text{si } 0 \leq x < 0,5 \\ 0 & \text{si } 0,5 \leq x \leq 1 \end{cases}$$

$$\text{et } \xi_2^{\text{in}}(x) = 0,2, \quad \forall x \in \Omega$$



Évolution de E et $\|\xi_2 - \bar{\xi}_2\|_{L^2}^2$ en fonction de t





Aperçu de l'exposé

- 1 Un mélange gazeux dans le poumon
- 2 L'expérience de Duncan et Toor
- 3 Les équations de Maxwell-Stefan
 - Présentation du modèle
 - Mélange à trois espèces
- 4 La limite d'un modèle cinétique
 - Contexte mathématique
 - Noyaux de collision, propriétés
 - Limite de diffusion

Aperçu de l'exposé

- 1 Un mélange gazeux dans le poumon
- 2 L'expérience de Duncan et Toor
- 3 Les équations de Maxwell-Stefan
 - Présentation du modèle
 - Mélange à trois espèces
- 4 La limite d'un modèle cinétique
 - **Contexte mathématique**
 - Noyaux de collision, propriétés
 - Limite de diffusion

Contexte mathématique

- Sixième problème de Hilbert : « (...) Boltzmann's work on the principles of mechanics suggests the problem of developing mathematically the limiting processes (...) which lead from the atomistic view to the laws of motion of continua »
- Une seule espèce, pas de mélange
 -  Bardos, Golse, Levermore. *C. R. Acad. Sci.* 309, 1989 ;
J. Statist. Phys. 63, 1991 ; *Comm. Pure Appl. Math.* 46, 1993
 -  Golse, Saint-Raymond. *Invent. Math.* 155, 2004
- Mélange, avec ou sans réaction chimique
 -  Sirovich. *Phys. Fluids* 5, 1962
 -  Desvillettes, Monaco, Salvarani. *Eur. J. Mech. B* 24, 2005

Modélisation cinétique

- Pas de réaction chimique, interactions mécaniques
- Fonction de densité de nombre **normalisée** f_i
dépendant de $t \geq 0$, $x \in \mathbb{R}^d$, $v \in \mathbb{R}^d$
- $\tilde{\xi}_i(t, x) = \int_{v \in \mathbb{R}^d} f_i(t, x, v) dv$
concentrations et fractions molaires égales ($C = 1$)
- Masse d'une molécule de l'espèce i : m_i
- Collisions microscopiques (m_i, v') et $(m_j, v'_*) \mapsto (m_i, v)$ et (m_j, v_*) ,
obtenues par conservation de la quantité de mouvement et de l'énergie

$$v' = \frac{1}{m_i + m_j} (m_i v + m_j v_* + m_j |v - v_*| \omega)$$

$$v'_* = \frac{1}{m_i + m_j} (m_i v + m_j v_* - m_i |v - v_*| \omega)$$

où $\omega \in S^{d-1}$

Aperçu de l'exposé

- 1 Un mélange gazeux dans le poumon
- 2 L'expérience de Duncan et Toor
- 3 Les équations de Maxwell-Stefan
 - Présentation du modèle
 - Mélange à trois espèces
- 4 La limite d'un modèle cinétique
 - Contexte mathématique
 - **Noyaux de collision, propriétés**
 - Limite de diffusion

Noyaux de collision

- Noyaux mono-espèces

$$Q_i^m(f, f)(v) = \int_{v_* \in \mathbb{R}^d} \int_{\omega \in S^{d-1}} B_i(v, v_*, \omega) [f(v')f(v'_*) - f(v)f(v_*)] dv_* d\omega$$

Hyp. de microréversibilité : $B_i(v, v_*, \omega) = B_i(v_*, v, \omega) = B_i(v', v'_*, \omega)$

- Noyaux bi-espèces, $i \neq j$

$$Q_{ij}^b(f, g)(v) = \int_{v_* \in \mathbb{R}^d} \int_{\omega \in S^{d-1}} B_{ij}(v, v_*, \omega) [f(v')g(v'_*) - f(v)g(v_*)] dv_* d\omega$$

Hyp. de microréversibilité : $B_{ij}(v, v_*, \omega) = B_{ji}(v_*, v, \omega) = B_{ij}(v', v'_*, \omega)$

- Formulations faibles, par exemple :

$$\begin{aligned} & \int_{v \in \mathbb{R}^d} Q_{ij}^b(f, g)(v) \psi_i(v) dv \\ &= \iint_{v, v_* \in \mathbb{R}^d} \int_{\omega \in S^{d-1}} B_{ij}(v, v_*, \omega) f(v)g(v_*) [\psi_i(v') - \psi_i(v)] d\omega dv dv_* \end{aligned}$$

Propriétés conservatives de Q_i^m et Q_{ij}^b

- Noyaux mono-espèces

$$\int_{v \in \mathbb{R}^d} Q_i^m(f, f)(v) \begin{pmatrix} 1 \\ v \\ |v|^2/2 \end{pmatrix} dv = 0$$

- Noyaux bi-espèces, $i \neq j$

$$\int_{v \in \mathbb{R}^d} Q_{ij}^b(f, g)(v) dv = 0$$

$$\int_{v \in \mathbb{R}^d} Q_{ij}^b(f, g)(v) \begin{pmatrix} m_i v \\ m_i |v|^2/2 \end{pmatrix} dv + \int_{v \in \mathbb{R}^d} Q_{ji}^b(g, f)(v) \begin{pmatrix} m_j v \\ m_j |v|^2/2 \end{pmatrix} dv = 0$$

Théorème H – Hyp. : $B_i, B_{ij} > 0$

Théorème

- ① Pour tout $f_i := f_i(v) \geq 0$ où cela a un sens, on a

$$\sum_i \int_{v \in \mathbb{R}^d} \left(Q_i^m(f_i, f_i)(v) + \sum_{j \neq i} Q_{ij}^b(f_i, f_j)(v) \right) \log \left(\frac{f_i(v)}{m_i^d} \right) dv \leq 0$$

- ② Équivalence entre

(a) $Q_i^m(f_i, f_i) = 0, Q_{ij}^b(f_i, f_j) = 0$

(b) $\sum_i \int_{v \in \mathbb{R}^d} \left(Q_i^m(f_i, f_i)(v) + \sum_{j \neq i} Q_{ij}^b(f_i, f_j)(v) \right) \log \left(\frac{f_i(v)}{m_i^d} \right) dv = 0$

- (c) Il existe $T > 0$ et $u \in \mathbb{R}^d$ tels que, pour tout i ,

$$f_i(v) = \zeta_i \left(\frac{m_i}{2\pi T} \right)^{d/2} \exp \left(-\frac{m_i}{2T} |v - u|^2 \right).$$

Modèle rééchelonné

- Paramètre de rééchelonnement :
libre parcours moyen $\varepsilon > 0$ ($\sim \text{Kn}$ ou Ma)
- Sections efficaces : molécules maxwelliennes
 $B_{ij}(v, v_*, \omega) = B_{ij}(\omega)$, $B_{ij} \in L^1$, $B_{ij}(\omega) = B_{ij}(-\omega)$, $\|B_{ij}\|_{L^1} = \|B_{ji}\|_{L^1}$
- Équations de Boltzmann posées dans $]0, +\infty[_t \times \Omega_x \times \mathbb{R}^d_v$

$$\varepsilon \partial_t f_i^\varepsilon + v \cdot \nabla_x f_i^\varepsilon = \frac{1}{\varepsilon} \left[Q_i^m(f_i^\varepsilon, f_i^\varepsilon) + \left(\sum_{j \neq i} Q_{ij}^b(f_i^\varepsilon, f_j^\varepsilon) \right) \right]$$

- Réflexions spéculaires sur $\partial\Omega$:
 $f_i^\varepsilon(t, x, v) = f_i^\varepsilon(t, x, v - 2(v \cdot \nu_x)\nu_x)$, $(t, x, v) \in \mathbb{R}^+ \times \partial\Omega \times \mathbb{R}^d$
- Condition initiale :
 $f_i^\varepsilon(0, x, v) = \zeta_i^{\text{in}}(x) \left(\frac{m_i}{2\pi T^{\text{in}}} \right)^{d/2} \exp(-m_i |v|^2 / 2T^{\text{in}})$

Aperçu de l'exposé

- 1 Un mélange gazeux dans le poumon
- 2 L'expérience de Duncan et Toor
- 3 Les équations de Maxwell-Stefan
 - Présentation du modèle
 - Mélange à trois espèces
- 4 La limite d'un modèle cinétique
 - Contexte mathématique
 - Noyaux de collision, propriétés
 - **Limite de diffusion**

Passage à la limite

- $\zeta_i^\varepsilon(t, x) = \int_{v \in \mathbb{R}^d} f_i^\varepsilon(t, x, v) dv \longrightarrow \zeta_i(t, x)$ quand $\varepsilon \rightarrow 0$
- $N_i^\varepsilon(t, x) = \frac{1}{\varepsilon} \int_{v \in \mathbb{R}^d} v f_i^\varepsilon(t, x, v) dv \longrightarrow N_i(t, x)$ quand $\varepsilon \rightarrow 0$
 $N_i < +\infty$: hypothèse de travail habituelle en limite diffusive
- $f_i^\varepsilon \rightarrow f_i$ à l'équilibre mécanique, donc f_i de la forme

$$f_i(t, x, v) = \zeta_i(t, x) \left(\frac{m_i}{2\pi T(t, x)} \right)^{d/2} \exp \left(-\frac{m_i}{2T(t, x)} |v - u(t, x)|^2 \right)$$
- $\varepsilon N_i^\varepsilon \rightarrow 0 \Rightarrow u \equiv 0$
- Pression uniforme, $C = \sum \zeta_i \equiv 1$ et hyp. gaz parfait $\Rightarrow T \equiv C^e$

Conservation de la masse

- On intègre l'équation de Boltzmann par rapport à $v \in \mathbb{R}^d$:

$$\frac{\partial}{\partial t} \left(\int_{\mathbb{R}^d} f_i^\varepsilon(v) dv \right) + \frac{1}{\varepsilon} \nabla_x \cdot \left(\int_{\mathbb{R}^d} v f_i^\varepsilon(v) dv \right) = 0,$$

où les opérateurs de collision disparaissent par invariance.

- Puis on fait $\varepsilon \rightarrow 0$:

$$\partial_t \zeta_i + \nabla_x \cdot N_i = 0.$$

Conservation de la quantité de mouvement

- On multiplie l'équation de Boltzmann par v_ℓ , $1 \leq \ell \leq d$, et on intègre par rapport à $v \in \mathbb{R}^d$:

$$\begin{aligned} \varepsilon \frac{\partial}{\partial t} \int_{\mathbb{R}^d} v_\ell f_i^\varepsilon(v) dv + \nabla_x \cdot \left(\int_{\mathbb{R}^d} v_\ell f_i^\varepsilon(v) v dv \right) \\ = \frac{1}{\varepsilon} \sum_{j \neq i} \int_{\mathbb{R}^d} v_\ell Q_{ij}^b(f_i^\varepsilon, f_j^\varepsilon)(v) dv := \Theta_\ell^\varepsilon, \end{aligned}$$

où l'opérateur de collision mono-espèce disparaît par invariance.

- Règles de collision et formulation faible de $Q_{ij}^b \Rightarrow$

$$\begin{aligned} \Theta_\ell^\varepsilon = \frac{1}{\varepsilon} \sum_{j \neq i} \frac{m_j}{m_i + m_j} \left[\iint_{\mathbb{R}^{2d}} \int_{S^{d-1}} B_{ij}(\omega) f_i^\varepsilon(v) f_j^\varepsilon(v_*) (v_{*\ell} - v_\ell) d\omega dv_* dv \right. \\ \left. + \iint_{\mathbb{R}^{2d}} \int_{S^{d-1}} B_{ij}(\omega) f_i^\varepsilon(v) f_j^\varepsilon(v_*) |v - v_*| \omega_\ell d\omega dv_* dv \right] \end{aligned}$$

Passage à la limite

- $\varepsilon \rightarrow 0 \Rightarrow$

$$\nabla_x \cdot \left(\int_{\mathbb{R}^d} v_\ell f_i(v) v \, dv \right) = \sum_{j \neq i} \frac{m_j}{m_i + m_j} \|B_{ij}\|_{L^1} (\zeta_i(N_j)_\ell - \zeta_j(N_i)_\ell)$$

- Terme $\nabla_x \cdot (\dots)$

$$= \sum_{k=1}^d \frac{\partial \zeta_i}{\partial x_k} \int_{\mathbb{R}^d} v_\ell v_k \left(\frac{m_i}{2\pi T} \right)^{d/2} e^{-m_i |v|^2 / 2T} \, dv = \frac{T}{m_i} \frac{\partial \zeta_i}{\partial x_\ell}$$

- Loi de Maxwell-Stefan ($C = 1$)

$$-\nabla_x \zeta_i = \sum_{j \neq i} \frac{\zeta_j N_i - \zeta_i N_j}{D_{ij}} \quad \text{avec } D_{ij}^{-1} = \frac{m_i m_j \|B_{ij}\|_{L^1}}{(m_i + m_j) T}$$